



بررسی عددی و تجربی فرآیند اندازه کردن لوله‌های استحکام بالا تولید شده به روش شکل‌دهی غلتکی سرد

حسین یوسفیان^۱، حسن مسلمی نایینی^{۲*}، روح الله عزیزی تفتی^۳، بهنام عباسزاده^۴

۱- دانشجوی کارشناسی ارشد، مهندسی مکانیک، دانشگاه تربیت مدرس، تهران

۲- استاد، مهندسی مکانیک، دانشگاه تربیت مدرس، تهران

۳- استادیار، مهندسی مکانیک، دانشگاه یزد، یزد

۴- دانشجوی دکتری، مهندسی مکانیک، دانشگاه تربیت مدرس، تهران

* تهران، صندوق پستی ۱۴۱۱۵-۱۴۳، moslemi@modares.ac.ir

چکیده

در این مقاله، با توجه به نیاز روز افزون به لوله‌های استحکام بالا و نازک در صنایع نفت و گاز، اثر استحکام، ضخامت اولیه لوله و اصطکاک بین لوله و غلتک، روی توزیع ضخامت و دوپهنه سطح مقطع لوله در فرآیند اندازه کردن به صورت عددی و تجربی مورد بررسی قرار گرفته است. شبیه‌سازی عددی با استفاده از نرم‌افزار تجاری مارک میتات انجام گرفته است. نتایج این شبیه‌سازی نشان می‌دهد که با افزایش استحکام تسليمه و کاهش ضخامت، دوپهنه سطح مقطع لوله کاهش می‌یابد. نشان داده شده است که با ۲.۷۷ برابر شدن استحکام تسليمه لوله‌ای به ضخامت ۲.۸ میلی‌متر، دوپهنه ۲۷ درصد کاهش یافته است. با کاهش ضخامت از ۲.۸ به ۱.۸ میلی‌متر لوله ای با جنس فولاد St37 دوپهنه ۲ درصد کاهش می‌یابد. این تغییرات با افزایش استحکام تسليمه بیشتر می‌شود به طوری که در لوله ای با جنس الافورم ۷۰۰ با کاهش ضخامت از ۲.۸ به ۱.۸ میلی‌متر، دوپهنه ۴۵ درصد کاهش می‌یابد. همچنان اصطکاک تأثیر ناچیزی بر دوپهنه و توزیع ضخامت لوله دارد. اعتبار شبیه‌سازی اجزای محدود با مقایسه نتایج تجربی تأیید شده است.

اطلاعات مقاله

مقاله پژوهشی کامل
دریافت: ۱۶ بهمن ۱۳۹۶
پذیرش: ۲۲ اردیبهشت ۱۳۹۷
ارائه در سایت: ۱۰ خرداد ۱۳۹۷
کلید واژگان:
فرآیند اندازه کردن
دوپهنه
لوله استحکام بالا
شکل‌دهی غلتکی

Numerical and experimental investigation of sizing process of high strength pipes producing by cold roll forming

Hossein Yousefian¹, Hassan Moslemi Naeini^{1*}, Roohollah Azizi Tafti², Behnam Abbaszadeh¹

1- Faculty of Mechanical Engineering, Tarbiat Modares University, Tehran, Iran

2- Faculty of Mechanical Engineering, Yazd University, Yazd, Iran

* P.O.B. 14115-143, Tehran, Iran, moslemi@modares.ac.ir

ARTICLE INFORMATION

Original Research Paper

Received 05 February 2018

Accepted 12 May 2018

Available Online 31 May 2018

ABSTRACT

In this paper, considering the increasing need for high strength and thin pipes in the oil and gas industries, the effects of material strength and the initial thickness of the pipe and the friction between the pipe and the roller, on the distribution of the thickness and ovality of the cross-section of pipe in the process of sizing have been numerically and experimentally investigated. The simulation is performed using the commercial software MSC Marc Mentat. Results of the simulation show that by increasing strength material and reduction of thickness, the ovality of the cross-section of pipe decrease. It has been shown that with a 2.77-fold increase in the yield strength of a pipe with thickness of 2.8 mm, the ovality decreased by 27%. By decreasing the thickness of the St37 pipe from 2.8 to 1.8 mm, the ovality decreased to 2%. These changes increase with increasing yield strength, so that in the alform700 pipe with a thickness reduction of 2.8 to 1.8 mm, the ovality decreased to 45%. Furthermore, the friction condition has very little effect on the ovality of pipe. The validity of the finite element simulation is confirmed by comparison with experimental results.

در هریک از روش‌های ساخت، مقطع لوله به‌طور کامل گرد نشده و مقطع

آن بیضی (دوپهنه) می‌شود. که عدم کنترل این پدیده، باعث مشکلاتی از قبیل عدم اتصال دو لوله در حین جوش کاری یا فلنج کردن، تغییر ممان سطح تعريف شده در روابط برای به دست آوردن تنفس در طراحی و مشکلات تداخل و اطباق می‌شود. دوپهنه به دلایل مختلفی در فرآیند ساخت لوله بوجود می‌آید که از جمله می‌توان به ناهمگن بودن قطعه یا ماده اولیه، ارتعاشات دستگاه تولید،

-1- مقدمه

لوله‌ها به دو روش بدون درز و با درز ساخته می‌شوند. روش‌های مختلف ساخت لوله بدون درز عبارتست از: روش روزن رانی، هیدروفرمینگ، ریخته‌گری، سوراخکاری و نورد با توپی. اما برای ساخت لوله‌های درز دار و با قطر کم از روش شکل‌دهی غلتکی سرد استفاده شده که در انتهای خط تولید، عملیات جوشکاری روی لوله انجام می‌شود.

اصلاح هندسه نهایی لوله انجام گرفته است. یوشیاکی و ماتسویو [5] به بررسی تاثیر شعاع انحنای غلتک و فاصله دو غلتک بر روی اصلاح دوپهنه در فرآیند اندازه کردن تکایستگاهی پرداخته و به این نتیجه رسیدند که شعاع انحنای غلتک با در نظر گرفتن مقدار انقباض محیطی لوله، می‌تواند بهینه شود، همچنین فاصله عمودی دو غلتک در مقداری مشخص کمترین دوپهنه را در لوله نتیجه می‌دهد. اینویو و همکاران [6] در پژوهش خود به بررسی فرآیند اندازه کردن پرداخته و توانستند با ساخت یک ایستگاه سه‌غلتکی نسبت به 4 ایستگاه دوغلتکی فرآیند اندازه کردن را برای لوله با نسبت‌های ضخامت به قطر بیشتری (افزایش 25 درصدی) اجرا کنند. یوشیاکی و همکاران [7] به بررسی تغییر رفتار لوله‌های جوشکاری شده در فرآیندهای اندازه کردن پرداختند. آن‌ها تاثیر استحکام تسليم درز جوش روی تغییر شکل لوله را به کمک آزمایش تجربی و تحلیل اجزای محدود سبدی بررسی کردند. در این مطالعه آن‌ها تاثیر تنش‌های پسماند روی خط جوش را در نظر گرفته و در نسبت‌های مختلف استحکام درز جوش به استحکام بدن لوله، نسبت‌های بهینه‌ای برای شعاع غلتک بالایی به کناری، در فرآیند اندازه کردن چهار غلتکی ارایه دادند. تاثیر تنش پسماند و توزیع ناهمگن استحکام فقط در شعاع غلتک قابل بررسی است. ولیدی [8] در مطالعه تحلیلی و تجربی فرآیند شکل‌دهی روی هندسه برووفیل مقطع محصول نتیجه رسید که شرایط اصطکاکی تاثیری روی دوپهنه برووفیل مقطع محصول ندارد. اما با افزایش ضربی اصطکاک، توان شکل‌دهی افزایش می‌یابد. کاهش ضربی اصطکاک، سطح خراش پرداشته را کمتر می‌نماید. هرینک و همکاران [9] به شبیه‌سازی عددی فرآیند ساخت لوله‌های قطور U&O پرداخته و به نتایج جالبی دست یافتند. آن‌ها با استفاده از برنامه مارک‌منات و نوشتن زیربرنامه به این نتیجه رسیدند که دوپهنه مستقیماً با فرآیند جوشکاری در ارتباط است و افزایش انبساط پس از تولید لوله، از صفر تا 0.5 درصد خیلی موثر است و تقریباً دوپهنه را صفر می‌کند. ولی از 0.5 تا 2 درصد تغییر چندانی حاصل نشده و این می‌تواند برای طراحی دستگاه انبساط‌دهنده موثر باشد. کیانچ و همکاران [10] در بررسی عددی شکل‌دهی ورق به لوله به روش U&O، به مدل‌سازی دو بعدی کل فرآیند پرداختند. در این مدل‌سازی آن‌ها رفتار ماده را سینماتیک خطی و اثر باوشنینگ را نیز در نظر گرفتند. آن‌ها اثر پارامترهای فرآیند، ضربی اصطکاک و خواص ماده را روی بازشدنی درز و دوپهنه لوله بررسی کردند. در نهایت آن‌ها به این نتیجه رسیدند که افزایش اصطکاک در این فرآیند باعث کاهش دوپهنه لوله می‌شود. لی و همکاران [11] به بررسی تغییرات تنش تسليم در فرآیند شکل‌دهی غلتکی سرد و اندازه کردن در تولید لوله پرداخته و به این نتیجه رسیدند که با افزایش درصد انقباض محیطی اعمال شده طی فرآیند اندازه کردن تنش تسليم افزایش می‌یابد. کرمی فیروزجایی و همکاران [12] تاثیر نوع الگوی گل بر روی توزیع ضخامت لوله در فرآیند شکل‌دهی غلتکی سرد لوله استحکام بالا بررسی کرده و به این نتیجه رسیدند که در الگوهای دو شعاعی و خمش معکوس، لوله توزیع ضخامت بهتری دارد.

با توجه به دیدگاه کاهش مصرف انرژی در صنایع مختلف از جمله صنایع نفت و گاز و در نتیجه استفاده از لوله‌های با استحکام بالا و در عین حال سبک وزن، تحقیقی در راستای بررسی تاثیر استحکام تسليم و ضخامت اولیه لوله بر دوپهنه لوله در طی فرآیند اندازه کردن مشاهده نشده است. همچنین گزارشی در راستای تاثیر شرایط اصطکاکی (متغیر فرآیندی تحت کنترل) بر روی دوپهنه در فرآیند اندازه کردن، مشاهده نشده است. در عین حال ایجاد انقباض محیطی (کرنش حلقوی) در فرآیند اندازه کردن باعث کاهش میزان دوپهنه لوله می‌شود. استحکام تسليم اولیه و ضخامت اولیه لوله از متغیرهایی هستند که روی میزان

عدم دقت در اندازه‌گیری‌ها و ترانس ابزارها، سایش و خوردگی ابزار یا غلتک اشاره کرد. "شکل 1" نمایی از سطح مقطع دوپهنه شده را نشان می‌دهد. برای بیان ریاضی دوپهنه معادله (1) ارایه شده است [1]. که مقدار دوپهنه لوله می‌باشد معمولاً به صورت درصد بیان می‌شود.

مقدار دوپهنه لوله با ریزسنج یا وسایل اندازه‌گیری نوری بدست می‌آید. استانداردهای مختلفی برای مقادیر مجذب دوپهنه وجود دارد. مقادیر مجذب با توجه به درزدار بودن یا نبودن، قطر داخلی و خارجی، ضخامت، فشار کاری و غیره مشخص می‌شود. استاندارد ASME B31 در حالی که فشار داخلی کاری کمتر از (Psi) 600 باشد، مقدار 8 درصد و برای فشار بیشتر از 600 مقدار حداقل 5 درصد را پیشنهاد می‌کند. همچنین در حالت فشار خارجی و خلا مقدار 2 درصد را مجذب می‌داند [2].

$$ov = \frac{2(D_{\max} - D_{\min})}{D_{\max} + D_{\min}} \times 100 \quad (1)$$

که در آن، D_{\max} مقدار قطر حداقل لوله دوپهنه شده و D_{\min} حداقل قطر آن می‌باشد.

ضخامت لوله در راستای طولی و محیطی بکسان نمی‌باشد. از متغیرهایی که نشان‌دهنده این توزیع ضخامت می‌باشد می‌توان متغیر خروج از مرکز را نام برد. خروج از مرکز به صورت معادله (2) بیان می‌شود [3]. e که مقدار خروج از مرکز می‌باشد معمولاً به صورت درصد بیان می‌شود. برای پیش‌گیری از عیوب در حین جوشکاری یا در حین کارکرد لوله باشد این مقدار در محدوده‌ای مجذب قرار گیرد. معمولاً در استانداردها مقدار جاذب خروج از مرکز با مقادیر مجذب حداقل و حداقل ضخامت به دست می‌آید [4,3]. برای مثال مقدار مجذب برابر خروج از مرکز 0.5 درصد قطر لوله در مرجع [4] بیان شده است.

$$e = \frac{T_{\max} - T_{\min}}{T_{\max} + T_{\min}} \times 100 \quad (2)$$

که در آن، T_{\max} حداقل ضخامت و T_{\min} حداقل ضخامت لوله در یک

سطح مقطع مشخص می‌باشد.

یکی از روش‌های ساخت لوله همان‌طور که گفته شد روش شکل‌دهی غلتکی سرد می‌باشد. پس از شکل‌دهی ورق به لوله، در ادامه عملیات جوشکاری انجام می‌شود و در پایان برای قرارگیری مقادیر قطر، ضخامت و دوپهنه لوله در محدوده‌ای مجذب، لوله به فرآیند اندازه کردن وارد می‌شود. فرآیند اندازه کردن با استفاده از چیدمان خاص غلتک‌ها به صورت دوتایی، سه تایی و چهارتایی در تعدادی مناسب از ایستگاه‌ها انجام می‌شود. الگوی گل غلتک در این فرآیند دایره کامل است.

بررسی‌های زیادی در راستای کاهش دوپهنه، فرآیند اندازه کردن و

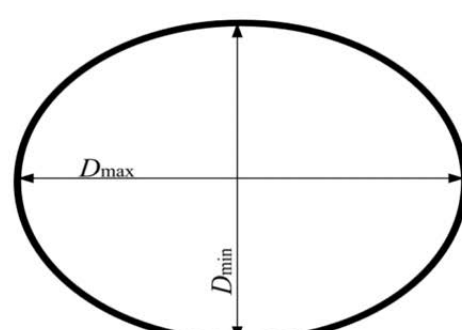


Fig. 1 Schematic of the oval pipe cross section

شکل 1 شماتیک سطح مقطع لوله دوپهنه شده

در ادامه حداکثر و حداقل قطر لوله در بین ایستگاه‌های اندازه کردن با ریزستنگ با قدرت تفکیک 0.01 میلی‌متر اندازه‌گیری شد. اندازه‌گیری‌ها در فاصله بین ایستگاه‌ها انجام گرفت تا حداکثر برگشت فنری رخ دهد. "شکل 4" چگونگی اندازه‌گیری را نشان می‌دهند.

3- شبیه سازی اجزای محدود

روش اجزای محدود برای اندازه‌گیری درصد دوپهنه و خروج از مرکز لوله در فرآیند شکل دهی اندازه کردن استفاده شده است.

جهت تحلیل از نرم‌افزار مارکمنتس² استفاده شد. در ابتدا لوله‌ای به طول 1600 میلی‌متر، مقدار دوپهنه 1.8 درصد و جهت‌گیری دوپهنه 40 درجه نسبت به محور عمودی با ضخامت‌ها، استحکام‌ها و شرایط اصطکاکی مشخص شده در جدول 1 مدل‌سازی شد. مواد به صورت همسان‌گرد و تغییرشکل‌ها به صورت کشسان مومسان در نظر گرفته شد، قانون کارستخی همسان‌گرد نیز مورد استفاده قرار گرفت.

با توجه به اعمال بیشترین تغییرشکل در جهت محیطی و شعاعی، لوله در جهت طول به 200 قسمت، در جهت ضخامت به 4 قسمت و در جهت محیطی به 60 قسمت شبکه‌بندی شد. همچنین نوع المان آجری تعریف شد



Fig. 3 Measurement the minimum and maximum pipe diameter before entering the sizing process

شکل 3 اندازه‌گیری حداقل و حداکثر قطر لوله قبل از ورود به فرآیند اندازه کردن



Fig. 4 Measurement the minimum and maximum pipe diameter between sizing stations

شکل 4 اندازه‌گیری حداقل و حداکثر قطر لوله بین ایستگاه‌های فرآیند اندازه کردن

جدول 1 سطوح مختلف متغیرهای شبیه‌سازی

Table 1 Different levels of simulation parameters.

جنس لوله	ضخامت (mm)	ضریب اصطکاک
St37	1.8	0.1
St52	2.3	0.2
alform700	2.8	0.4

که با شماره 7 در نرم‌افزار مارکمنتس معرفی می‌شود و به صورت المان سه‌بعدی مکعبی با 8 گره می‌باشد، سه درجه آزادی برای هر گره وجود دارد و

کرنش مومسان اعمال شده و میزان افزایش ضخامت تاثیرگذار است. بنابراین در این مقاله، لوله‌های با استحکام معمولی، متوسط و بالا با یک دوپهنه اولیه، با ضخامت‌های مختلف و تحت شرایط اصطکاکی مختلف با استفاده از شبیه‌سازی سه‌بعدی اجزای محدود مدل‌سازی شد و در نهایت درصد دوپهنه و خروج از مرکز لوله محاسبه شد. نتایج شبیه‌سازی با مقایسه داده‌های تجربی که از اندازه‌گیری قطر لوله در طی فرآیند اندازه کردن خط تولید لوله و پروفیل شرکت سپنتا به دست آمد، تطابق خوبی دارد.

2- بررسی‌های تجربی

اندازه‌گیری قطر لوله در طی ایستگاه‌های مختلف فرآیند اندازه کردن بر روی خط تولید لوله و پروفیل شرکت سپنتا انجام گرفته است. اندازه‌گیری‌ها با استفاده از ریزستنگ با قدرت تفکیک 0.01 میلی‌متر به دست آمده است. همچنین برای مدل‌سازی و شبیه‌سازی دقیق‌تر، خواص مکانیکی ورق مورد استفاده در خط و ورق‌های مطالعه شده نیز با استفاده از آزمون کشش به دست آمد. اطلاعات تجربی جهت بررسی نتایج به دست آمده از روش تحلیل اجزای محدود بکار گرفته شده است.

2-1- آزمون‌های تعیین خواص مکانیکی ورق

ورق استفاده شده در خط تولید لوله و پروفیل شرکت سپنتا St37 بوده و دو ورق با استحکام‌های متوسط و بالا که به ترتیب با نام‌های St52 و آلفورم¹ 700 ASTM شناخته می‌شوند مورد آزمون کشش تک محوری با استاندارد E8/E8M-09 بوسیله دستگاه ساخت شرکت سنتام موجود در آزمایشگاه مواد مرکب دانشگاه تربیت مدرس، قرار گرفتند. در نهایت پس از تبدیل مقادیر جابجایی و نیرو، به تنش حقیقی و کرنش مومسان حقیقی که در "شکل 2" ملاحظه می‌شود مقادیر وارد محیط شبیه‌سازی شد.

2-2- اندازه‌گیری دوپهنه لوله

در ابتدا قطر لوله قبل از ورود به فرآیند اندازه کردن اندازه‌گیری شد و مقادیر

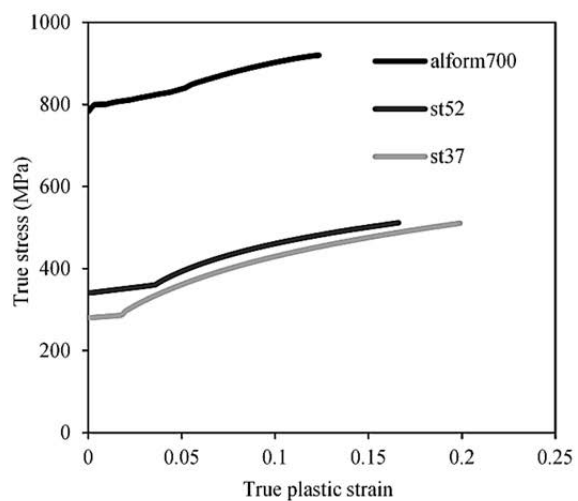


Fig. 2 True strain-true plastic strain diagram for the three tested materials

شکل 2 نمودار تنش حقیقی-کرنش مومسان حقیقی برای سه ماده مورد آزمایش حداکثر و حداقل قطر لوله و جهت‌گیری دوپهنه لوله مشخص شد (شکل 3).

² Marc Mentat

¹ alform

حافظه از ویژگی‌های روش حل صریح بوده که آنرا به یک روش کاربردی در شبیه‌سازی فرآیندهای شکل دهنی تبدیل کرده است.

1-3- محاسبه دوپهنه و خروج از مرکز اجزای محدود

پس از اتمام کامل فرآیند حل عددی به وسیله نرم افزار مارک منتات، سطح مقطعی برای اندازه‌گیری مشخص شد. بدلیل کمی گازگرفتی در لبه جلویی لوله در آغاز حرکت و در نتیجه اعوجاج غیرمشخص لبه جلویی لوله، به اندازه 160 میلی‌متر از لبه جلویی فاصله گرفته و برای در نظر گرفتن بازگشت کامل 760 میلی‌متر کشسان زمان مناسب برای حل انتخاب شد که نهایتاً با فاصله 760 میلی‌متری از غلتک آخر سطح مقطع مورد نظر مشخص شد (شکل 8).

پس از به دست آوردن مقادیر جایگاهی در دو راستای صفحه، این مقادیر به مقادیر مختصاتی لوله در حالت ابتدایی، یعنی قبل از ورود به فرآیند اندازه‌کردن، اضافه شد و مختصات نهایی هر گره در سطح مقطع مشخص به دست آمد. در نهایت با استفاده رابطه تبدیل مختصات دکارتی به مختصات قطبی، شاعع هر گره مشخص شد. با به دست آوردن شاعع گره‌های موجود در سطح داخلی و خارجی سطح مقطع، توزیع ضخامت به دست آمد.

3- صحبت‌سنگی مدل اجزای محدود

برای تایید صحت مدل اجزای محدود، قطر خارجی لوله در خط تولید لوله پروفیل سپنایا بخش اندازه‌کردن با همان مشخصات ورودی در محیط شبیه‌سازی، اندازه‌گیری شد. همان‌طور که در "شکل 9" مشاهده می‌شود محور افقی بیانگر شماره ایستگاه شکل دهنی در فرآیند اندازه‌کردن و محور عمودی بیانگر مقدار میانگین قطر خارجی لوله بر حسب میلی‌متر است که به اختصار قطر خارجی نامیده شده است. مشابه با اندازه‌گیری‌های تجربی، قطر

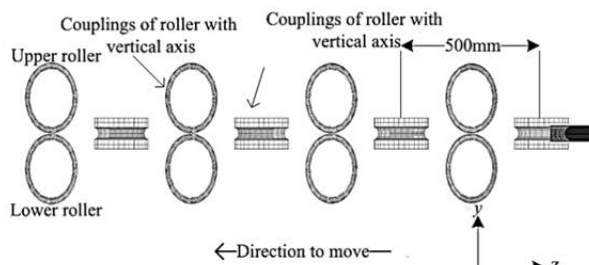


Fig. 7 A View of sizing stations in modeling

شکل 7 نمایی از ایستگاه‌های اندازه کردن در مدل سازی

از انتگرال‌گیری گوسی 8 نقطه‌ای برای حل استفاده می‌شود. تحلیل حساسیت اندازه‌های شبکه‌بندی اجزای محدود برای اطمینان از مناسب بودن شبکه و اطمینان از عدم واپسگشی نتایج به درجه شبکه‌بندی انجام پذیرفت. مدل اجزای محدود استفاده شده در این مدل سازی در "شکل 5" نشان داده شده است.

مشابه با غلتک‌های موجود در خط تولید لوله و پروفیل شرکت سپنایا، غلتک‌های شکل دهنی طراحی و به صورت جسم صلب تحلیلی وارد محیط شبیه‌سازی شد. از دلایل انتخاب جسم صلب تحلیلی کارکرد محاسباتی بالای آن، به دلیل عدم نیاز به شبکه بندی می‌باشد. این حالت برای اجمامی که معمولاً تغییرشکل بسیار ناچیزی در جین فرآیند داشته و هندسه پیچیده‌ای ندارند اتخاذ می‌شود.

در "شکل 6" ایستگاه‌های اندازه کردن و شماره آن‌ها نشان داده شده است. در ایستگاه‌های فرد غلتک‌ها افقی و هرزگرد بوده و در ایستگاه‌های زوج غلتک‌ها عمودی هستند که غلتک پایینی محرك و غلتک بالایی هرزگرد است.

با توجه به فاصله ایستگاه‌های فرد در خط تولید موجود که 500 میلی‌متر بوده و ایستگاه‌های زوج دقیقاً در وسط ایستگاه‌های فرد قرار دارند، جایگیری غلتک‌ها به صورت "شکل 7" مشخص شد. به همین دلیل غلتک‌هایی که به موتور متصل اند (اتصال چرخدنده و گاردان می‌باشد) دارای اصطکاک غلتشی-لغزشی می‌باشند و در محیط شبیه‌سازی برای آن‌ها اصطکاک تعريف می‌شود. اصطکاک تعريف شده از نوع اصطکاک کلمب می‌باشد و براساس تعريف آزمایش ضرایب 0.1 و 0.4 در هر آزمایش به صورت مجزا اعمال می‌شود. هرگونه حرکتی از غلتک‌ها گرفته شده است و تنها حرکت در راستای Z به لبه جلویی لوله داده شده است. این جایگایی به صورت سرعت

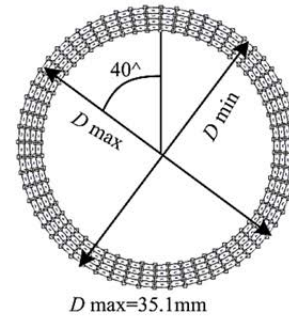


Fig. 5 A view of meshed pipe in software

شکل 5 نمایی از لوله شبکه‌بندی شده در نرم افزار مارک منتات

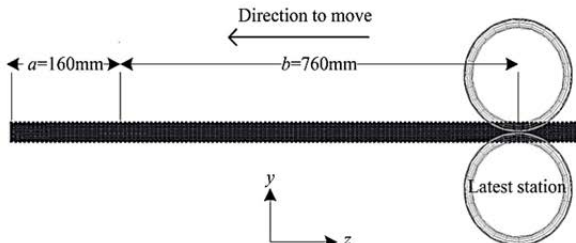


Fig. 8 The desired section for measuring simulation results

شکل 8 مقطع موردنظر برای اندازه‌گیری نتایج شبیه‌سازی خارجی در وسط فاصله ایستگاهی ایستگاهی از نتایج شبیه‌سازی اجزای محدود به دست آمد. قطر خارجی لوله در شماره ایستگاه صفر برابر با قطر خارجی آن قبل از ورود به ایستگاه‌های اندازه کردن است.

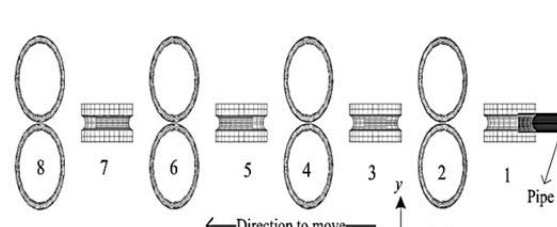


Fig. 6 ایستگاه‌های مختلف اندازه کردن و شماره فرض شده برای آن‌ها

ثابت با توجه به سرعت خط تولید 35 متر بر دقیقه اعمال شده است. با توجه به سرعت کم فرآیند اندازه کردن که نسبتاً کم بوده شبیه‌سازی‌ها به صورت شبه‌استاتیک در نظر گرفته شده و همچنین روش حل صریح به دلیل لزوم تعداد بالایی از شبیه‌سازی‌های زمان بر، اتخاذ گردیده است. کاهش نیاز به

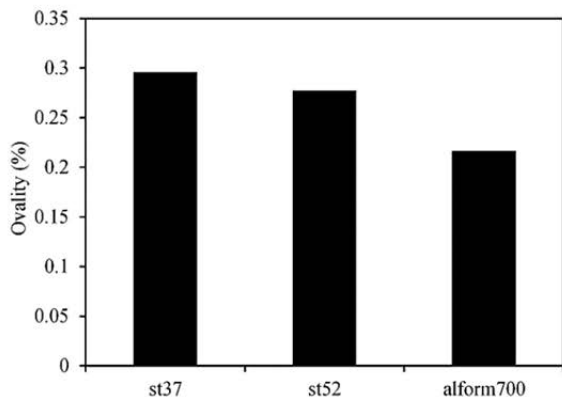


Fig. 10 ovality percentage in the output pipe of the sizing process

شکل 10 درصد دوپهنه لوله در خروجی فرآیند اندازه کردن

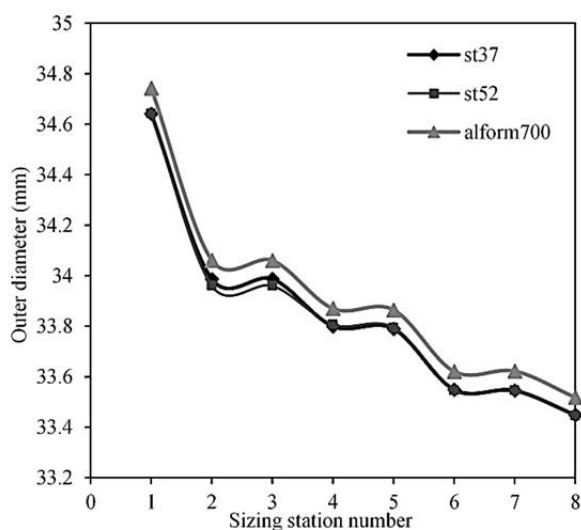


Fig. 11 Mean pipe diameter at sizing stations for the studied materials

شکل 11 قطر میانگین لوله در ایستگاه‌های اندازه کردن برای مواد مطالعه شده

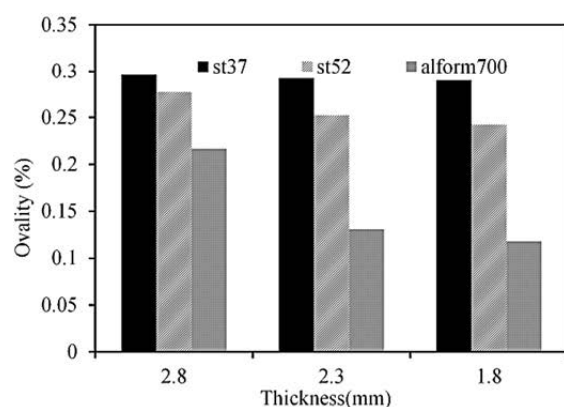


Fig. 12 ovality pipe output in different thicknesses for different materials

شکل 12 درصد دوپهنه لوله خروجی در ضخامت‌های مختلف برای مواد مختلف

مواد مورد مطالعه در خروج از فرآیند اندازه کردن نشان داده شده است. همان‌طور که دیده می‌شود با کاهش ضخامت از 2.8 به 2.3 و 1.8 (میلی‌متر) درصد دوپهنه خروجی در هر سه ماده کاهش داشته است. تغییرات در لوله‌های

با توجه به "شکل 9" با پیشروعی لوله در فرآیند اندازه کردن، به طور کلی قطر خارجی به تدریج کم می‌شود که این امر در نتایج شبیه‌سازی اجزای محدود و نتایج تجربی مشاهده می‌شود. در عین حال، نتایج شبیه‌سازی اجزای محدود با داده‌های تجربی اختلاف کمی دارند. بیشترین تفاوت در ایستگاه‌های سوم و هشتم بوده و برابر 0.8 درصد است. بین نتایج عددی و تجربی انطاق خوبی مشاهده شد. اما خطای ایجاد شده ناشی از ناهمسانگردی خواص مکانیکی لوله و در نظر نگرفتن خط جوش و خواص متفاوت آن در محیط شبیه‌سازی می‌باشد. بنابراین مدل اجزای محدود توسعه داده شده، پیش‌بینی قابل اطمینانی از هندسه خروجی لوله در طی فرآیند شکل دهی خواص مکانیکی لوله کرده است. از این رو مطالعات پارامتریک می‌تواند با استفاده از این مدل معتبر انجام شود.

4- بحث و نتایج

4-1- اثر استحکام و ضخامت اولیه لوله بر دوپهنه در "شکل 10" درصد دوپهنه لوله برای مواد مطالعه شده در خروجی از فرآیند اندازه کردن نشان داده شده است. همان‌طور که دیده می‌شود با افزایش استحکام از St37 به St52 و آلفورم 700 درصد دوپهنه خروجی به ترتیب از 0.29 درصد به 0.27 و 0.21 درصد کاهش می‌یابد.

از جمله دلایل کاهش دوپهنه خروجی با افزایش استحکام تسلیم می‌توان به افزایش برگشت‌فرمی با افزایش استحکام تسلیم اشاره کرد. در یک کرنش ثابت برای مواد مختلف، با افزایش استحکام تسلیم ماده و در نتیجه افزایش برگشت‌فرمی، قطر خارجی لوله افزایش می‌یابد.

"شکل 11" قطر خارجی لوله در طی فرآیند اندازه کردن را برای سه جنس مختلف برای لوله با ضخامت اولیه 2.8 میلی‌متر نشان می‌دهد. می‌توان گفت با افزایش برگشت‌فرمی و درنتیجه، افزایش قطر خارجی لوله در طی فرآیند اندازه کردن، تماس لوله با غلتک کاملاً دایروی بیشتر شده و در نتیجه لوله بیشتر به دایره تمایل پیدا می‌کند. بنابراین دوپهنه کاهش می‌یابد.

در "شکل 12" درصد دوپهنه لوله در ضخامت‌های اولیه مختلف برای

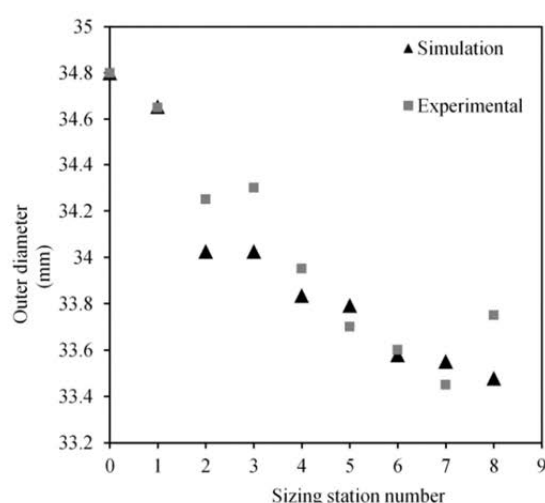


Fig. 9 Mean pipe diameter at different measuring stations

شکل 9 قطر خارجی لوله در ایستگاه‌های مختلف اندازه کردن

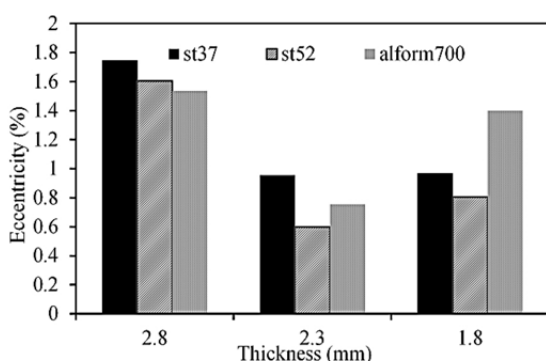


Fig. 14 Eccentricity of output pipe of the process sizing for the studied materials

شکل 14 درصد خروج از مرکز لوله خروجی از فرآیند اندازه کردن برای مواد مطالعه شده

ضخامت نوچیه کرد. بدین گونه که با کاهش ضخامت برگشت فنری افزایش می‌یابد و در نتیجه ضخامت‌های حداقل و حداکثر لوله طی فرآیند اندازه کردن کمتر افزایش داشته است. بنابراین مخرج کسر خروج از مرکز با کاهش ضخامت کاهش می‌یابد. اما برای تصمیم‌گیری در مورد صورت کسر خروج از مرکز باید اطلاعات دقیقی از شرایط تماس و تعداد اجزای‌های تحت تماس داشت. وابسته به شرایط تماس صورت کسر می‌تواند افزایش یا کاهش یابد. نسبت تغییرات صورت به کاهش مخرج تعیین‌کننده تغییرات خروج از مرکز می‌باشد.

4- اثر اصطکاک بر دوپهنه و خروج از مرکز

در این بخش، به منظور مطالعه اثر اصطکاک بر دوپهنه و خروج از مرکز لوله خروجی، سه ضریب اصطکاک کلمب (0.1 و 0.2 و 0.4) [1] برای شرایط اصطکاکی غلتک با لوله بررسی شده است.

جدول 2 تغییرات هندسه خروجی لوله شامل، درصد دوپهنه، قطر میانگین و حداقل و حداکثر ضخامت لوله خروجی را برای جنس St37 با ضخامت رودی 2.8 میلی‌متر نشان می‌دهد. با تغییر شرایط اصطکاکی از حالتی با ضریب اصطکاک کلمب 0.2 به 0.1 یا 0.4 بیشترین تغییرات در ضخامت حداقل حدود 0.1 میلی‌متر و در ضخامت حداکثر به میزان 0.4 میلی‌متر است. بنابراین تاثیر اصطکاک بر خروج از مرکز و ضخامت‌های کمینه و بیشینه قابل توجه نیست. همچنین، از نتایج به دست آمده این نکته بر می‌آید که اصطکاک تاثیر ناچیزی بر دوپهنه دارد. بنابراین، تاثیر اصطکاک بر هندسه محصول قابل چشم‌پوشی است. این نتیجه با مرجع [8] مطابقت دارد.

5- جمع‌بندی و نتیجه‌گیری

در این مقاله، به بررسی عددی و تجربی فرآیند اندازه کردن لوله‌های استحکام بالا تولید شده به روش شکل دهنی غلتکی سرد پرداخته شد. به این منظور،

جدول 2 تغییرات هندسه لوله خروجی با تغییر اصطکاک

Table 2 Changes in the Output pipe geometry with a change in friction coefficient

ضخامت (mm)	ضخامت حداکثر (mm)	قطر میانگین (mm)	دوپهنه (د رد)	ضریب اصطکاک
2.79	2.91	33.46	0.29	0.1
2.78	2.93	33.45	0.29	0.2
2.77	2.89	33.45	0.29	0.4

با جنس St37 و St52 کم بوده ولی در ماده استحکام بالا با کاهش حدود 25 درصد در ضخامت (کاهش ضخامت از 2.8 میلی‌متر به 2.3 میلی‌متر) کاهش 60 درصدی در دوپهنه لوله داشته است.

برای ذکر علت باید به "شکل 13" توجه شود، همان‌طور که دیده می‌شود با کاهش ضخامت، کرنش معادل اعمال شده بر لوله افزایش داشته است. بنابراین کار بیشتری بر روی لوله اعمال شده و درنتیجه، لوله بیشتر به سطح غلتک تمایل پیدا می‌کند. بنابراین دوپهنه با کاهش ضخامت کاهش می‌یابد.

4-2- اثر استحکام و ضخامت اولیه لوله بر خروج از مرکز

در "شکل 14" درصد خروج از مرکز در مواد مختلف و برای ضخامت‌های ورودی مختلف نشان داده شده است. با توجه به ستونی که مربوط به ضخامت لوله برابر 2.8 میلی‌متر است، دیده می‌شود با افزایش حدود 25 درصد استحکام تسیلیم از St37 به St52، کاهش 8.4 درصدی در خروج از مرکز رخ داده است، و با افزایش 130 درصد در استحکام تسیلیم از ماده St52 به آلفورم 700، کاهش 4.1 درصدی، در خروج از مرکز مشاهده می‌شود. در ضخامت‌های، کمتر اختلاف درصد خروج از مرکز بیشتر شده و حتی با افزایش استحکام در ضخامت‌های 1.8 و 2.3 میلی‌متر تاثیر دوگانه داشته است یعنی با افزایش استحکام از St52 به St37 کاهش درصد خروج از مرکز، اما با افزایش استحکام از آلفورم 700 افزایش درصد خروج از مرکز مشاهده می‌شود. حتی درصد خروج از مرکز در ضخامت 1.8 میلی‌متر برای ماده St37 نسبت به ماده آلفورم 700 کمتر می‌شود.

همان‌طور که در "شکل 14" دیده می‌شود با تغییر ضخامت لوله، در طی فرآیند اندازه کردن، خروج از مرکز لوله تغییر می‌یابد. با کاهش ضخامت از 2.8 به 2.3 میلی‌متر در همه مواد آزمایش شده خروج از مرکز کاهش می‌یابد. ولی با کاهش ضخامت از 2.3 به 1.8 میلی‌متر افزایش خروج از مرکز مشاهده شد. این تغییرات با افزایش استحکام تشدید می‌شود. بنابراین می‌توان گفت در مقداری مشخص از ضخامت لوله، خروج از مرکز حداقل می‌شود.

دلیل این تغییرات را می‌توان با توجه به رابطه معکوس برگشت فری با

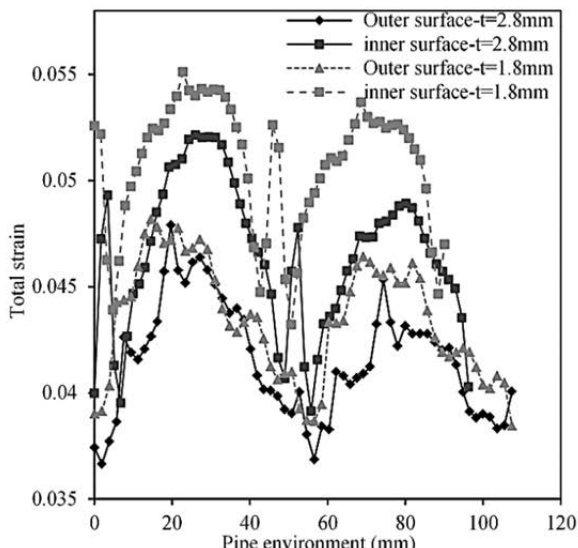


Fig. 13 Total strain applied to the pipe during the sizing process (St52 pipe).

شکل 13 کرنش معادل اعمال شده بر لوله طی فرآیند اندازه کردن (جنس لوله St52).

حداقل ضخامت لوله (mm)	T_{min}
زیرنویس‌ها	
حداکثر	max
حداقل	min

7- تقدير و تشكير

از کارشناسان فنی شرکت لوله و پروفیل سپنتا بهخصوص مدیرعامل محترم جناب آقای مهندس آمره بابت کمکهای ارزشمندانه در انجام کارهای تجربی، کمال تشکر و قدردانی به عمل می‌آید.

8- مراجع

- [1] G. Halmos, *Roll Forming Handbook*, First Edition. Taylor & Francis Group, Boca Raton, pp. 9.23-9.43, Toronto: CRC, 2006.
- [2] ASME B31.1, First Edition, pp. 205-206, April 2010.
- [3] A. S. Zeleniarie, *Steel Tube and Pipe Handbook*, 14th Edition, pp. 207-208, Slovak Republic, Switzerland: CR, 2018.
- [4] C. William, *Standard Handbook of Petroleum and Natural Gas Engineering*, S. Lyon, J. P. Gary , L. Sga(Eds), pp. 607-670, 2011.
- [5] I. Yoshiaki,A. Matsu, Deformation analysis of ERW pipes subjected to 2-roll sizer- improvement of roundness at the end of ERW pipes with thin wall pipes III, *Journal of the Japan Society for Technology of Plasticity*, Vol. 37, No. 431, pp.307-310, 1996 (In Japanese).
- [6] T. Inoue, M. Suzuki, T. Okabe, Y. Matsui, Development of advanced electric resistance welding (ERW) line pipe mighty seam TM with high quality weld seam suitable for extra-low temperature services, *Journal of Financial Economics Technical Report*, Vol. 18, No. 410, pp. 18-22, 1996.
- [7] I. Yoshiaki, M. Takao, A. Iiso, Development of pipe with high revision for automotive propeller shaft, *Nippon Steel Technical Report*, Vol. 44, No. 72, pp. 81-86, january1998.
- [8] H. Validi, *In the Analytical and Empirical Study of the Process of Re-Shaping Square Tubes with Consideration of Friction*, Master's Thesis, Faculty of Mechanical Engineering, Tarbiat Modarres University, 2007 . (in Persian)
- [9] M. D. Herynk, S. Kyriakides, A. Onoufriou, H. D. Yun, Effects of the UOE/UOC pipe manufacturing processes on pipe collapse pressure, *International Journal of Mechanical Society*. Vol. 49, No. 5. pp. 533-553, 2007.
- [10] R. Qiang, Z. Tianxia, L. Dayong, T. Ding, Numerical study on the X80 UOE pipe forming process, *Journal of Materials Processing Technology*, Vol. 215, No. 6, pp. 264-277, 2015.
- [11] L. Joomin, K. Dongwook, L. Quagliato.K. Soochang, Change of the yield stress in roll formed ERW pipes considering the bauschinger effect, *Journal of Materials Processing Technology*, Vol. 244, No. 41, pp. 304-313, 2017.
- [12] M. Karimi Firouzjaci, H. Moslemi Naeini, H. R. Farahmand, B. Abbaszadeh, M. M. Kasaei, Numerical and experimental investigation on flower pattern design methods in cold roll forming process of a high strength steel pipe, *Modares Mechanical Engineering*, Vol. 17, No. 10, pp. 259-270, 2017. (in Persian)

فرآیند اندازه کردن در نرم‌افزار تجاری مارک‌منتات مدل‌سازی و شبیه‌سازی گردید. سپس تغییرهندسی سطح مقطع لوله در طی فرآیند مورد بررسی قرار گرفت.

شبیه‌سازی فرآیند اندازه کردن برای یک لوله با قطر خارجی، درصد دوپهنه ورودی و جهت‌گیری دوپهنه مشخص انجام شد. اثر متغیرهای ابعادی شامل استحکام تسلیم لوله و ضخامت لوله و متغیر فرآیندی یعنی اصطکاک بر روی دوپهنه و خروج از مرکز لوله بررسی شد. مهم‌ترین نتیجه که در این تحقیق به دست آمد، عبارتند از:

1- با افزایش استحکام تسلیم لوله، دوپهنه خروجی لوله کاهش می‌یابد. با

2.77 برابر شدن استحکام تسلیم لوله با ضخامت 2.8 میلی‌متر، دو پهنه سطح مقطع لوله به 27 درصد کاهش یافته است. برای یک لوله

با جنس مشخص، با کاهش ضخامت شیب تغییرات بیشتر می‌شود.

2- با تغییر استحکام تسلیم و تغییر ضخامت لوله، خروج از مرکز لوله تغییر می‌یابد. با کاهش ضخامت از 2.8 به 2.3 میلی‌متر، خروج از مرکز سطح مقطع لوله کاهش می‌یابد. ولی با کاهش ضخامت از 2.3 به 1.8 میلی‌متر، افزایش خروج از مرکز مشاهده شد. این تغییرات با افزایش استحکام تشدید می‌شود.

3- با کاهش ضخامت لوله، در طی فرآیند اندازه کردن دوپهنه خروجی لوله کاهش می‌یابد. با 0.64 برابر شدن ضخامت (کاهش ضخامت از 2.8 به 1.8 میلی‌متر) لوله با جنس فولاد St37 دوپهنه به 2 درصد کاهش می‌یابد. تغییرات با افزایش استحکام تسلیم بیشتر می‌شود به طوری که در ماده آلفورم 700 با 0.64 برابر شدن ضخامت دوپهنه 45 درصد کاهش می‌یابد.

4- تاثیر اصطکاک روی دوپهنه و خروج از مرکز لوله بسیار ناچیز است.

6- فهرست عالیم

حداکثر قطر لوله (mm)	D_{max}
حداقل قطر لوله (mm)	D_{min}
درصد خروج از مرکز لوله	e
درصد دوپهنه لوله	σv
حداکثر ضخامت لوله (mm)	T_{max}